



حق مالکیت

تمامی هزینه های این طرح توسط پژوهشگاه رویان تامین شده است.



دانشکده علوم پایه و فناوری های نوین زیستی

پایان نامه کارشناسی ارشد زیست شناسی - گرایش سلولی و مولکولی

بهینه سازی بیان هورمون محرک فولیکولی انسانی در سلول های تخمدان همستر چینی
بوسیله ی بهینه سازی شرایط محیط کشت

نگارش

مینو غفاری

اساتید راهنما

دکتر محسن قرنفلی ، دکتر محمد حسین صنعتی

اساتید مشاور

آقای امیر امیری یکتا، دکتر فاطمه تابنده ، دکتر حمید گورابی

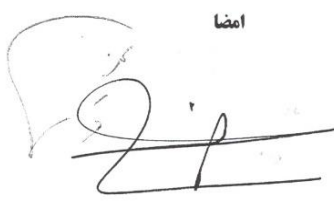
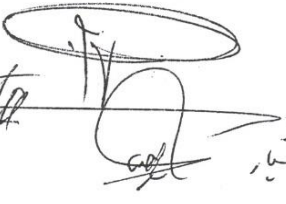
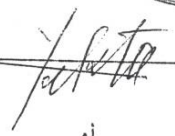

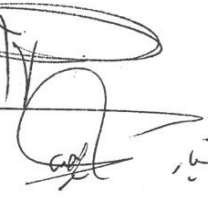

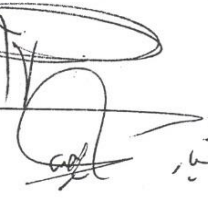
بهمن ماه ۱۳۹۳

بسمه تعالی

صور تجلسه دفاع از پایان نامه کارشناسی ارشد

با تأییدات خداوند متعال و با استعانت از حضرت ولی عصر(عج) جلسه دفاع از پایان نامه کارشناسی ارشد خانم مینو غفاری تحت عنوان: " بهینه سازی بیان هورمون محرک فولیکولی انسانی در سلول‌های تخمدان همستر چینی بوسیله بهینه سازی شرایط محیط کشت " در تاریخ ۱۳۹۳/۱۱/۲۱ با حضور هیأت داوران در دانشگاه علم و فرهنگ برگزار گردید. بدینوسیله، ارزشیابی نهایی پایان نامه به شرح ذیل است.

□ قبول با نمره: ۲۰ به حروف: سبب درجه (عالی) □ دفاع مجدد □ مردود

اعضای هیات داوران	نام و نام خانوادگی	رتبه علمی	امضا
۱- استاد راهنمای اول:	جناب آقای دکتر محسن قرنفلی		
۲- استاد راهنمای دوم:	جناب آقای دکتر محمدحسین صنعتی		
۳- استاد مشاور اول:	جناب آقای دکتر حمید گورابی		
۴- استاد مشاور دوم:	سرکار خانم دکتر فاطمه تابنده		
۵- استاد مشاور سوم:	جناب آقای امیر امیری یکتا		
۶- استاد داور داخلی:	سرکار خانم دکتر مریم شاه حسینی	دانشیار	
۷- استاد داور خارجی:	جناب آقای دکتر علی اصغر کارخانه ای		
۸- نماینده تحصیلات تکمیلی:	سرکار خانم دکتر مریم شاه حسینی		

اداره کل تحصیلات تکمیلی

بر اساس ماده ۲۰ آیین نامه آموزشی درجه ارزشیابی پایان نامه به شرح زیر است:

الف) نمره از ۱۹ تا ۲۰	عالی
نمره از ۱۸ تا ۱۸/۹۹	بسیار خوب
نمره از ۱۶ تا ۱۷/۹۹	خوب
نمره از ۱۴ تا ۱۵/۹۹	قابل قبول
ب) نمره کمتر از ۱۴	غیر قابل قبول

ضروری است که یک نسخه تکمیل شده این فرم مطابق شیوه نامه تدوین پایان نامه ها در ابتدای پایان نامه الصاق می گردد.

تقدیم به:

مادر،

که هر چه دارم از اوست.

چکیده

هورمون محرک فولیکولی انسانی، یکی از اعضای خانواده‌ی هورمون‌های گنادوتروپینی است. این هورمون گلیکوپروتئینی مانند دیگر اعضای این خانواده، ماکرومولکولی هتروداایمر است که از دو زیرواحد تشکیل شده است. زیرواحد عمومی مشترک در تمام اعضای این خانواده α و زیر واحد دیگر β نامیده می‌شود. این هورمون بطور طبیعی در باروری زنان و مردان نقش دارد و به عنوان دارو در درمان ناباروری بطور گسترده‌ای استفاده می‌گردد. تولید صنعتی این دارو امروزه به دو صورت نوترکیب و استخراجی از ادرار زنان یائسه صورت می‌گیرد. تولید این هورمون بصورت نوترکیب و با کمک مهندسی ژنتیک مزایایی نسبت به نوع استخراجی از ادرار دارد که از آن قسم می‌توان مواردی مانند عدم آلودگی باهورمون LH، عدم آلودگی با عوامل بیماری‌زای ویروسی و پریونی و همچنین خالص‌سازی آسان‌تر را نام برد. در نتیجه تمایل به تولید این دارو بصورت نوترکیب روز به روز افزایش یافته است. تولید این دارو در مقیاس صنعتی هنگامی دارای توجیه است که با کمترین هزینه ممکن، و با بیشترین بازده انجام پذیرد. بدین منظور در این مطالعه سعی شده است که برای کاهش هزینه تولید، تاثیر کاهش میزان سرم جنین گاوی محیط‌کشت سلول‌های نوترکیب CHO به عنوان یکی از گران‌ترین ترکیبات محیط‌کشت، بررسی گردد. علاوه بر این برای بالا بردن میزان بیان این هورمون شرایط محیط‌کشت مانند دما و pH مد نظر قرار گرفته است. در این مطالعه با تغییر دما در بازه $(28^{\circ}\text{C}-37^{\circ}\text{C})$ و pH در بازه $(6/7-7/6)$ ، دما و pH ای که در آن بیشترین بیان وجود دارد تعیین گردید و در انتها تاثیر این دو عامل بطور همزمان بر میزان بیان هورمون بررسی شد. و مشاهده گردید با تاثیر pH و دمای بهینه‌ی در این آزمایش که به ترتیب 28°C و $7/3$ FBS٪ میزان بیان را تا ۱۴ برابر افزایش داد.

کلمات کلیدی: هورمون محرک فولیکولی، بهینه‌سازی شرایط محیط کشت، افزایش بیان

گلیکوپروتئین‌ها

فهرست مطالب

صفحه	عنوان
۱	فصل اول - مقدمه و کلیات.....
۱-۱	۱- مقدمه.....
۳	۲-۱- اهداف طرح و ضرورت انجام طرح.....
۳	۳-۱- اهداف تحقیق.....
۴	۴-۱- ناباروری.....
۵	۱-۴-۱- علل ناباروری در دوجنس زن و مرد.....
۶	۵-۱- خانواده‌ی هورمون‌های گنادوتروپینی.....
۷	۶-۱- هورمون FSH انسانی.....
۹	۱-۶-۱- زیر واحد α هورمون FSH انسانی.....
۱۰	۲-۶-۱- زیر واحد β هورمون FSH انسانی.....
۱۱	۳-۶-۱- پیوندهای دی‌سولفیدی در ساختار هورمون FSH.....
۱۲	۴-۶-۱- نقش ساختارهای قندی در عملکرد هورمون FSH.....
۱۳	۷-۱- عملکرد هورمون FSH در بدن و نقش آن در درمان ناباروری.....
۱۳	۱-۷-۱- عملکرد هورمون FSH در مردان.....
۱۴	۲-۷-۱- عملکرد هورمون FSH در زنان.....
۱۵	۳-۷-۱- عملکرد هورمون FSH در درمان.....
۱۶	۸-۱- گیرنده‌ی هورمون FSH.....
۱۹	۹-۱- تاریخچه‌ی تولید هورمون FSH برای مصارف دارویی.....
۲۲	۱۰-۱- سیستم‌های بیانی مختلف برای تولید دارو.....
۲۲	۱-۱۰-۱- سیستم‌های بیانی پروکاریوتی.....
۲۳	۲-۱۰-۱- سیستم‌های بیانی یوکاریوتی.....
۲۴	۱-۲-۱۰-۱- گیاهان.....
۲۴	۲-۲-۱۰-۱- مخمر.....
۲۵	۳-۲-۱۰-۱- سیستم‌های بیانی پستانداران.....
۲۶	۱-۳-۲-۱۰-۱- سیستم بیانی CHO.....
۲۸	۲-۳-۲-۱۰-۱- سیستم‌های بیانی انسانی.....
۲۹	۱۱-۱- شرایط و عوامل محیطی موثر بر تولید پروتئین نوترکیب.....

۲۸	۱-۱۱-۱- دما و pH
۳۲	۲-۱۱-۱- میزان گلوکز محیط کشت
۳۴	۳-۱۱-۱- میزان گلوتامین محیط کشت
۳۶	۴-۱۱-۱- اسمولالیت
۳۷	۱۲-۱- میزان سرم محیط کشت
۳۹	فصل دوم - مواد و روش‌ها
۴۰	۱-۲- دستگاه‌های مورد استفاده
۴۲	۲-۲- تجهیزات مورد استفاده
۴۳	۳-۲- مواد مورد استفاده
۴۳	۱-۳-۲- سلول میزبان
۴۳	۲-۳-۲- آنزیم
۴۳	۳-۳-۲- نشانگرهای وزن مولکولی DNA و پروتئین
۴۴	۴-۳-۲- آنتی‌بادی‌های مورد استفاده
۴۵	۵-۳-۲- کیت‌های آزمایشگاهی مورد استفاده
۴۶	۶-۳-۲- مواد آزمایشگاهی مورد استفاده در کشت سلول
۴۷	۷-۳-۲- پرایمرهای مورد استفاده در این پژوهش
۴۷	۱-۷-۳-۲- پرایمرهای مورد استفاده برای انجام واکنش PCR
۴۹	۲-۷-۳-۲- پرایمرهای مورد استفاده برای انجام واکنش Real-Time PCR
۵۰	۴-۲- روش‌ها
۵۰	۱-۴-۲- تایید ورود ژن‌های زیرواحدهای α و β هورمون FSH انسانی، به ژنوم CHO
۵۱	۱-۱-۴-۲- استخراج DNA ژنومی سلول CHO
۵۲	۲-۱-۴-۲- الکتروفورز، رنگ آمیزی و مشاهده DNA بر روی ژل آگارز
۵۲	۳-۱-۴-۲- نحوه‌ی ساخت TAE ۱X از TAE ۵۰X
۵۲	۴-۱-۴-۲- تهیه ژل آگارز و مشاهده DNA
۵۳	۵-۱-۴-۲- واکنش زنجیره ای پلیمرز PCR زیرواحد آلفا
۵۴	۶-۱-۴-۲- واکنش زنجیره ای پلیمرز PCR زیرواحد بتا
۵۵	۲-۴-۲- بررسی رشد سلول‌ها در محیط کشت با میزان FBS متفاوت
۵۶	۱-۲-۴-۲- تهیه محیط کشت DMEM برای سلول‌های CHO
۵۷	۲-۲-۴-۲- ساخت محیط کشت با درصد FBS متفاوت

۵۸ ۳-۲-۴-۲- دفریز کردن
۵۸ ۱-۳-۲-۴-۲- روش اول
۵۸ ۲-۳-۲-۴-۲- روش دوم
۵۸ ۴-۲-۴-۲- پاساژ سلولی
۵۹ ۵-۲-۴-۲- نحوه‌ی ساخت محیط خنثی
۵۹ ۶-۲-۴-۲- نحوه‌ی ساخت PBS
۶۰ ۷-۲-۴-۲- مراحل انجام پاساژ سلولی
۶۰ ۸-۲-۴-۲- فریز کردن سلول‌ها و آماده‌سازی آنها برای قرار گیری در تانک ازت
۶۲ ۹-۲-۴-۲- بررسی تاثیر کاهش میزان FBS محیط کشت بر رشد سلول‌ها و بیان هورمون FSH
۶۲ ۱۰-۲-۴-۲- سنجش میزان لاکتات تولیدی در محیط کشت
۶۳ ۱۱-۲-۴-۲- سنجش میزان گلوکز در محیط کشت
۶۳ ۱۲-۲-۴-۲- بررسی شکل ظاهری سلول‌ها و ترسیم نمودار رشد
۶۴ ۵-۴-۲- اعمال تغییر دمای محیط کشت
۶۵ ۶-۴-۲- اعمال تغییرات pH در محیط کشت
۶۵ ۷-۴-۲- تایید بیان پروتئین FSH در شرایط مختلف
۶۵ ۱-۷-۴-۲- استخراج پروتئین
۶۷ ۲-۷-۴-۲- SDS-page
۶۷ ۳-۷-۴-۲- نحوه‌ی تهیه نمونه‌ها
۶۷ ۴-۷-۴-۲- مراحل ساخت ژل SDS-Page
۶۹ ۵-۷-۴-۲- رنگ آمیزی ژل SDS-Page با نیترات نقره
۷۱ ۶-۷-۴-۲- رنگ آمیزی ژل SDS-Page با رنگ کماسی بلو
۷۲ ۸-۴-۲- وسترن بلاتینگ
۷۲ ۱-۸-۴-۲- محلول‌ها و بافرهای مورد نیاز جهت وسترن بلاتینگ
۷۵ ۹-۴-۲- واکنش Real-time PCR
۷۵ ۱-۹-۴-۲- استخراج RNA توسط کیت NucleoSpin® RNA I
۷۶ ۲-۹-۴-۲- سنتز cDNA
۷۸ ۳-۹-۴-۲- انجام واکنش PCR بر روی cDNA سنتز شده
۸۰ ۴-۹-۴-۲- انجام واکنش Real-time PCR
۸۱ ۱۰-۴-۲- تعیین غلظت پروتئین به روش بردفورد

۸۱کمی کردن وسترن بلات	۱۱-۴-۲
۸۲روش تاگوچی	۱۲-۴-۲
۸۳تجزیه و تحلیل آماری	۱۲-۴-۲
۸۴	
	فصل سوم - نتایج	
۸۵واکنش PCR برای تایید سازه نوترکیب pVITRO-hFSH α/β در ژنوم سلول CHO	۱-۳
۸۶بررسی رشد سلول‌ها در درصدهای مختلف FBS	۲-۳
۸۶نتایج حاصل از بررسی رشد سلول‌ها و فاکتورهای موثر بر آن در محیط کشت حاوی ۱۰٪ FBS	۳-۳
۸۶بررسی تعداد سلول‌های زنده در محیط کشت حاوی ۱۰٪ FBS	۱-۳-۳
۸۷بررسی میزان لاکتات تولیدی در محیط کشت حاوی ۱۰٪ FBS	۲-۳-۳
۸۸بررسی تغییرات میزان گلوکز در محیط کشت حاوی ۱۰٪ FBS	۳-۳-۳
۸۹نتایج حاصل از بررسی رشد سلول‌ها و فاکتورهای موثر بر آن در محیط کشت حاوی ۵٪ FBS	۴-۳
۸۹بررسی تعداد سلول‌های زنده در محیط کشت حاوی ۵٪ FBS	۱-۴-۳
۹۰بررسی میزان لاکتات تولیدی در محیط کشت حاوی ۵٪ FBS	۲-۴-۳
۹۱بررسی تغییرات میزان گلوکز در محیط کشت حاوی ۵٪ FBS	۳-۴-۳
۹۳نتایج حاصل از بررسی رشد سلول‌ها و فاکتورهای موثر بر آن در محیط کشت حاوی ۳٪ FBS	۵-۳
۹۳بررسی تعداد سلول‌های زنده در محیط کشت حاوی ۳٪ FBS	۱-۵-۳
۹۴بررسی میزان لاکتات تولیدی در محیط کشت حاوی ۳٪ FBS	۲-۵-۳
۹۵بررسی تغییرات میزان گلوکز در محیط کشت حاوی ۳٪ FBS	۳-۵-۳
۹۶نمودار زنده‌مانی سلول‌ها در درصدهای مختلف FBS	۶-۳
۹۷نمودار طول مدت زنده‌مانی سلول‌ها در درصدهای مختلف FBS	۷-۳
۹۸بررسی میزان بیان mRNA هورمون FSH انسانی در سلول‌های CHO ترنسفکت‌شده	۸-۳
۹۹استخراج RNA	۱-۸-۳
۹۹نتایج حاصل از RT-PCR برای حصول اطمینان از صحت سنتز cDNA	۲-۸-۳
۱۰۰Real-time PCR	۳-۸-۳
منحنی ذوب (Melt curve) محصول Real time PCR ژن‌های کدکننده‌ی دو زیرواحد آلفا و بتای هورمون FSH انسانی	۱-۳-۸-۳
۱۰۰نتایج کمی حاصل از بررسی بیان ژن‌های زیر واحدهای آلفا و بتای هورمون FSH انسانی در درصدهای مختلف FBS	۲-۳-۸-۳
۱۰۲	
۱۰۳بررسی میزان بیان هورمون FSH در سطح پروتئین بصورت کمی و کیفی	۹-۳

۱۰۳.....	SDS-Page -۱-۹-۳
۱۰۴.....	۲-۹-۳-وسترن بلاتینگ.....
۱۰۶.....	۱۰-۳- نتایج حاصل از تغییر دما بر رشد سلول‌ها و میزان تولید FSH.....
۱۰۶.....	۱-۱۰-۳- بررسی رشد سلول‌ها در دمای ۳۷ درجه‌ی سانتیگراد.....
۱۰۷.....	۱-۱-۱۰-۳- نمودار تعداد سلول زنده در دمای ۳۷ درجه‌ی سانتیگراد.....
۱۰۸.....	۲-۱-۱۰-۳- نمودار زنده‌مانی سلول‌ها در دمای ۳۷ درجه‌ی سانتیگراد.....
۱۰۸.....	۲-۱۰-۳- تایید بیان هورمون FSH انسانی در دمای ۳۷ درجه سانتیگراد.....
۱۰۸.....	SDS-Page -۱-۲-۱۰-۳.....
۱۰۹.....	۲-۲-۱۰-۳- وسترن بلاتینگ.....
۱۱۰.....	۳-۱۰-۳- بررسی رشد سلول‌ها در دمای ۳۴ درجه‌ی سانتیگراد.....
۱۱۰.....	۱-۳-۱۰-۳- نمودار تعداد سلول زنده برای سلول‌های رشد یافته در دمای ۳۴ درجه‌ی سانتیگراد.....
۱۱۱.....	۲-۳-۱۰-۳- نمودار زنده‌مانی.....
۱۱۲.....	۴-۱۰-۳- تایید بیان هورمون FSH انسانی در دمای ۳۴ درجه سانتیگراد.....
۱۱۲.....	SDS-Page -۱-۴-۱۰-۳.....
۱۱۳.....	۲-۴-۱۰-۳- وسترن بلاتینگ.....
۱۱۴.....	۵-۱۰-۳- بررسی رشد سلول‌ها در دمای ۳۲ درجه‌ی سانتیگراد.....
۱۱۴.....	۱-۵-۱۰-۳- نمودار تعداد سلول زنده در دمای ۳۲ درجه‌ی سانتیگراد.....
۱۱۵.....	۲-۵-۱۰-۳- نمودار زنده‌مانی سلول‌ها در دمای ۳۲ درجه‌ی سانتیگراد.....
۱۱۶.....	۶-۱۰-۳- تایید بیان هورمون FSH انسانی در دمای ۳۲ درجه سانتیگراد.....
۱۱۶.....	SDS-Page -۱-۶-۱۰-۳.....
۱۱۷.....	۲-۶-۱۰-۳- وسترن بلاتینگ.....
۱۱۷.....	۷-۱۰-۳- بررسی رشد سلول‌ها در دمای ۳۰ درجه‌ی سانتیگراد.....
۱۱۷.....	۱-۷-۱۰-۳- نمودار تعداد سلول زنده در دمای ۳۰ درجه‌ی سانتیگراد.....
۱۱۸.....	۲-۷-۱۰-۳- نمودار زنده‌مانی سلول‌ها در دمای ۳۰ درجه‌ی سانتیگراد.....
۱۱۹.....	۸-۱۰-۳- تایید بیان هورمون FSH انسانی در دمای ۳۰ درجه سانتیگراد.....
۱۱۹.....	SDS-Page -۱-۸-۱۰-۳.....
۱۲۰.....	۲-۸-۱۰-۳- وسترن بلاتینگ.....
۱۲۰.....	۹-۱۰-۳- بررسی رشد سلول‌ها در دمای ۲۸ درجه‌ی سانتیگراد.....
۱۲۰.....	۱-۹-۱۰-۳- تعداد سلول زنده در دمای ۲۸ درجه‌ی سانتیگراد.....

۱۲۱.....	۳-۱۰-۹-۲- زنده‌مانی سلول‌ها در دمای ۲۸ درجه‌ی سانتیگراد.....
۱۲۲.....	۳-۱۰-۱۰-۱- تایید بیان هورمون FSH انسانی در دمای ۲۸ درجه سانتیگراد.....
۱۲۲.....	۳-۱۰-۱۰-۱- SDS-Page.....
۱۲۳.....	۳-۱۰-۱۰-۲- وسترن بلاتینگ.....
۱۲۴.....	۳-۱۱- نتایج حاصل از مقایسه‌ی زنده‌مانی سلول‌ها در دماهای مختلف.....
۱۲۴.....	۳-۱۲- بررسی میزان بیان mRNA هورمون FSH انسانی در سلول‌های CHO ترنسفکت‌شده در دماهای مختلف.....
۱۲۵.....
۱۲۶.....	۳-۱۲-۱- استخراج RNA.....
۱۲۷.....	۳-۱۲-۲- نتایج حاصل از RT-PCR برای حصول اطمینان از صحت سنتز cDNA.....
۱۲۷.....	۳-۱۲-۳- نتایج کمی حاصل از بررسی میزان بیان mRNA زیر واحد بتای هورمون FSH انسانی در دماهای مختلف.....
۱۲۸.....
۱۲۹.....	۳-۱۳- بررسی میزان بیان هورمون FSH در سطح پروتئین بصورت کمی.....
۱۳۰.....	۳-۱۴- نتایج حاصل از تغییر pH بر رشد سلول‌ها و میزان تولید FSH.....
۱۳۰.....	۳-۱۴-۱- بررسی تعداد و زنده‌مانی سلول‌ها در pHهای مختلف.....
۱۳۱.....	۳-۱۴-۲- SDS-Page.....
۱۳۲.....	۳-۱۴-۳- وسترن بلاتینگ.....
۱۳۲.....	۳-۱۵- بررسی کمی میزان بیان هورمون FSH انسانی در pHهای مختلف.....
۱۳۲.....	۳-۱۵-۱- بررسی میزان بیان mRNA هورمون FSH انسانی در سلول‌های CHO ترنسفکت‌شده در pH مختلف.....
۱۳۳.....	۳-۱۵-۲- Real-time PCR.....
۱۳۴.....	۳-۱۵-۳- کمی کردن وسترن بلاتینگ.....
۱۳۵.....	۳-۱۶- اندازه‌گیری غلظت پروتئین با استفاده از روش برد فورد.....
۱۳۶.....	۳-۱۶-۱- غلظت کلی پروتئین‌ها در درصدهای مختلف FBS.....
۱۳۷.....	۳-۱۶-۲- غلظت کلی پروتئین‌ها در دماهای مختلف.....
۱۳۸.....	۳-۱۶-۳- غلظت کلی پروتئین‌ها در pH های مختلف.....
۱۳۸.....	۳-۱۷- بررسی دما و pH بهینه بطور همزمان.....
۱۴۱.....	۳-۱۸- نتایج حاصل از روش تاگوچی.....
۱۴۳.....	فصل چهارم: بحث و نتیجه‌گیری کلی.....
۱۴۴.....	۴-۱- بحث.....

۱۴۸.....	۲-۴- نتیجه‌گیری کلی.....
۱۴۹.....	۳-۴- ارائه‌ی پیشنهادات.....
۱۴۹.....	فهرست منابع.....

فهرست جداول

صفحه	عنوان
۴۰	جدول (۱-۲): دستگاه‌های مورد استفاده.....
۴۳	جدول (۲-۲): آنزیم مورد استفاده در این پژوهش.....
۴۴	جدول (۳-۲): نشانگرهای وزن مولکولی DNA.....
۴۴	جدول (۴-۲): نشانگرهای وزن مولکولی پروتئین.....
۴۴	جدول (۵-۲): آنتی‌بادی‌های مورد استفاده برای انجام وسترن بلاتینگ.....
۴۵	جدول (۶-۲): کیت‌های آزمایشگاهی.....
۴۶	جدول (۷-۲): مواد آزمایشگاهی مورد استفاده در کشت سلول CHO.....
۴۸	جدول (۸-۲): پرایمرهای طراحی شده برای واکنش PCR زیر واحد آلفا.....
۴۸	جدول (۹-۲): پرایمرهای طراحی شده برای واکنش PCR زیر واحد بتا.....
۴۹	جدول (۱۰-۲): پرایمرهای طراحی شده برای واکنش Real-Time PCR زیر واحد آلفا.....
۵۰	جدول (۱۱-۲): پرایمرهای طراحی شده برای واکنش Real-Time PCR زیر واحد بتا.....
۵۲	جدول (۱۲-۲): نوع و مقدار ترکیبات موجود در بافر ۵۰X TAE.....
۵۳	جدول (۱۳-۲): مواد لازم برای انجام واکنش PCR زیر واحد آلفای هورمون FSH انسانی.....
۵۴	جدول (۱۴-۲): برنامه دمایی مورد استفاده برای انجام واکنش PCR زیر واحد آلفای هورمون FSH انسانی.....
۵۴	جدول (۱۵-۲): مواد لازم برای انجام واکنش PCR زیر واحد بتای هورمون FSH انسانی.....
۵۵	جدول (۱۶-۲): برنامه دمایی مورد استفاده برای انجام واکنش PCR زیر واحد بتایی هورمون FSH انسانی.....
۵۶	جدول (۱۷-۲): مواد لازم برای ساخت محیط کشت.....
۵۷	جدول (۱۸-۲): مواد مورد نیاز برای ساخت محیط با درصدهای مختلف FBS.....
۵۹	جدول (۱۹-۲): مواد لازم برای پاساژ سلولی.....
۶۱	جدول (۲۰-۲): مواد لازم برای فریز کردن.....
۶۶	جدول (۲۱-۲): مواد موجود در کیت استخراج.....
۶۸	جدول (۲۲-۲): مواد لازم براس ساخت ۵ میلی لیتر ژل تفکیک کننده.....
۶۸	جدول (۲۳-۲): مواد لازم براس ساخت ۳ میلی لیتر ژل تغلیظ کننده.....
۶۹	جدول (۲۴-۲): مواد لازم برای ساخت رانینگ بافر.....
۷۰	جدول (۲۵-۲): مواد لازم برای ساخت ۱۰۰ میلی لیتر محلول تثبیت کننده‌ی نوع یک در رنگ آمیزی نیترا ت نقره.....
۷۰	جدول (۲۶-۲): مواد لازم برای ساخت ۱۰۰ میلی لیتر محلول تثبیت کننده‌ی نوع دو در رنگ آمیزی نیترا ت نقره.....
۷۱	جدول (۲۷-۲): طرز تهیه‌ی محلول نیترا ت نقره.....

- جدول (۲-۲۸): طرز تهیهی رنگ کماسی بلو..... ۷۲
- جدول (۲-۲۹): طرز تهیهی رنگ بر رنگ کماسی بلو ۷۲
- جدول (۲-۳۰): نوع و مواد مورد نیاز برای ساخت بافر انتقال..... ۷۳
- جدول (۲-۳۱): ترکیب مواد موجود در محلول شستشو..... ۷۳
- جدول (۲-۳۲): مواد تشکیل دهندهی محلول بلوکه کننده..... ۷۴
- جدول (۲-۳۳): مواد لازم برای سنتز مرحلهی اول cDNA..... ۷۷
- جدول (۲-۳۴): مواد لازم برای سنتز مرحلهی دوم cDNA..... ۷۷
- جدول (۲-۳۵): برنامهی دمایی مورد استفاده برای سنتز cDNA..... ۷۸
- جدول (۲-۳۶): مواد مورد استفاده برای واکنش PCR ژن *β-actin* بر روی cDNA سنتز شده..... ۷۹
- جدول (۲-۳۷): برنامه دمایی مورد استفاده برای واکنش PCR ژن *β-actin* بر روی cDNA سنتز شده..... ۷۹
- جدول (۲-۳۸): برنامه دمایی مورد استفاده برای انجام واکنش Real-time PCR..... ۸۰
- جدول (۲-۳۹): شرایط آزمایشگاهی مورد استفاده برای روش تاگوچی..... ۸۲
- جدول (۴-۱): نتایج حاصل از محاسبهی SN_I در آزمایشهای مختلف..... ۱۴۱
- جدول (۴-۲): بررسی تاثیر هر یک از پارامترها بر افزایش بیان..... ۱۴۱

فهرست نمودارها

صفحه	عنوان
۸۶	نمودار (۱-۳): نمودار تعداد سلول زنده در محیط حاوی ۱۰٪ FBS.....
۸۷	نمودار (۲-۳): جذب خوانده شده متناسب با لاکتات تولیدی در محیط کشت حاوی ۱۰٪ FBS.....
۸۸	نمودار (۳-۳): جذب خوانده شده متناسب با گلوکز موجود در محیط کشت حاوی ۱۰٪ FBS.....
۸۹	نمودار (۴-۳): نمودار تعداد سلول زنده در محیط حاوی ۵٪ FBS.....
۹۰	نمودار (۵-۳): جذب خوانده شده متناسب با لاکتات تولیدی در محیط کشت حاوی ۵٪ FBS.....
۹۱	نمودار (۶-۳): جذب خوانده شده متناسب با گلوکز موجود در محیط کشت حاوی ۵٪ FBS.....
۹۲	نمودار (۷-۳): تعداد سلول زنده در محیط حاوی ۳٪ FBS.....
۹۳	نمودار (۸-۳): جذب خوانده شده متناسب با لاکتات تولیدی در محیط کشت حاوی ۳٪ FBS.....
۹۴	نمودار (۹-۳): جذب خوانده شده متناسب با گلوکز موجود در محیط کشت حاوی ۳٪ FBS.....
۹۵	نمودار (۱۰-۳): مقایسه ایتعداد سلول های زنده در محیط کشت های حاوی درصد های مختلف FBS.....
۹۶	نمودار (۱۱-۳): نمودار مقایسه ایدرصد زنده مانیسلول هادر محیط کشت های حاوی درصد های مختلف FBS.....
۹۶	نمودار (۱۲-۳): مقایسه ی طول مدت زنده مانیسلول هادر محیط کشت های حاوی درصد های مختلف FBS.....
۹۹	نمودار (۱۳-۳): منحنی ذوب محصول Real time PCR ژن های کدکننده ی دو زیر واحد آلفا و بتای هورمون FSH انسانی.....
۱۰۱	نمودار (۱۴-۳): میزان mRNA نسبت داده به سلول های کشت داده شده در محیط کشت هایی با درصد های مختلف FBS.....
۱۰۴	نمودار (۱۵-۳): مقایسه ی میزان بیان هورمون FSH انسانی در سلول های رشد یافته در محیط کشت هایی با درصد های مختلف FBS.....
۱۰۵	نمودار (۱۶-۳): رشد سلول ها در دمای ۳۷ درجه سانتیگراد.....
۱۰۶	نمودار (۱۷-۳): زنده مانی در دمای ۳۷ درجه سانتیگراد.....
۱۰۹	نمودار (۱۸-۳): رشد سلول ها در دمای ۳۴ درجه سانتیگراد.....
۱۱۰	نمودار (۱۹-۳): زنده مانی در دمای ۳۴ درجه سانتیگراد.....
۱۱۳	نمودار (۲۰-۳): رشد سلول ها در دمای ۳۲ درجه سانتیگراد.....
۱۱۴	نمودار (۲۱-۳): زنده مانی در دمای ۳۲ درجه سانتیگراد.....
۱۱۷	نمودار (۲۲-۳): رشد سلول ها در دمای ۳۰ درجه سانتیگراد.....
۱۱۷	نمودار (۲۳-۳): زنده مانی در دمای ۳۰ درجه سانتیگراد.....

- نمودار (۳-۲۴): رشد سلول‌ها در دمای ۲۸ درجه سانتیگراد..... ۱۲۰
- نمودار (۳-۲۵): زنده‌مانی در دمای ۲۸ درجه سانتیگراد..... ۱۲۰
- نمودار (۳-۲۶): نمودار مقایسه‌ای تعداد سلول‌های زنده در دماهای مختلف..... ۱۲۳
- نمودار (۳-۲۷): نمودار مقایسه‌ای زنده‌مانی در دماهای مختلف..... ۱۲۴
- نمودار (۳-۲۸): مقایسه‌ی میزان mRNA نسبت داده شده در دماهای مختلف، طی چهار استخراج..... ۱۲۷
- نمودار (۳-۲۹): نمودار میانگین میزان بیان هورمون FSH انسانی (به نانوگرم) در هر فلاسک T ۷۵ ، در دماهای مختلف..... ۱۲۸
- نمودار (۳-۳۰): مقایسه‌ی تعداد سلول زنده در ابتدای فاز سکون سلول‌ها در pH های مختلف..... ۱۲۹
- نمودار (۳-۳۱): مقایسه‌ی زنده‌مانی سلول‌ها در ابتدای فاز سکون سلول‌ها در pH های مختلف..... ۱۳۰
- نمودار (۳-۳۲): مقایسه‌ی میزان mRNA نسبت داده شده در ابتدای فاز سکون سلول‌ها در pH های مختلف..... ۱۳۳
- نمودار (۳-۳۳): مقایسه‌ی میزان بیان هورمون FSH (نانوگرم) در ابتدای فاز سکون سلول‌ها در pH های مختلف..... ۱۳۴
- نمودار (۳-۳۴): نمودار استاندارد بدست‌آمده مربوط به تکنیک برد فورد..... ۱۳۵
- نمودار (۳-۳۵): میزان غلظت کلی پروتئین تولید شده از سلول‌های رشد یافته در غلظت‌های مختلف FBS..... ۱۳۵
- نمودار (۳-۳۶): میزان غلظت کلی پروتئین تولید شده از سلول‌های رشد یافته در دماهای مختلف..... ۱۳۶
- نمودار (۳-۳۷): میزان غلظت کلی پروتئین تولید شده از سلول‌های رشد یافته در pH های مختلف..... ۱۳۷
- نمودار (۳-۳۸): مقایسه‌ی میزان بیان هورمون FSH انسانی (نانوگرم) در ابتدای فاز سکون در شرایط بهینه و کنترلی..... ۱۳۹
- نمودار (۳-۳۹): مقایسه‌ی زنده‌مانی در ابتدای فاز سکون در شرایط بهینه و کنترلی..... ۱۳۹
- نمودار (۳-۴۰): مقایسه‌ی تعداد سلول زنده در ابتدای فاز سکون در شرایط بهینه و کنترل..... ۱۴۰

فهرست تصاویر

صفحه	عنوان
۸	تصویر (۲-۱): هورمون FSH انسانی.....
۱۰	تصویر (۲-۱): توالی زیرواحد آلفای هورمون FSH انسانی.....
۱۱	تصویر (۳-۱): توالی زیرواحد بتای هورمون FSH انسانی.....
۱۵	تصویر (۴-۱): تغییرات میزان هورمون FSH به همراه تغییرات در میزان هورمون LH.....
۱۷	تصویر (۵-۱): توالی اسیدآمینه‌ای گیرنده‌ی هورمون FSH.....
۱۸	تصویر (۶-۱): نحوه‌ی اتصال هورمون FSH به گیرنده‌اش.....
۲۶	تصویر (۷-۱): سلول‌های رده‌ی سلولی CHO.....
۸۴	تصویر (۱-۳): نتایج حاصل از واکنش PCR.....
۹۷	تصویر (۲-۳): RNA استخراجی از سلول‌های رشد یافته در محیط کشت‌های حاوی درصدهای مختلف FBS.....
۹۸	تصویر (۳-۳): واکنش PCR ژن <i>actβ</i> بر روی cDNA سنتز شده از mRNA استخراج شده از سلول‌های استخراج شده در محیط کشت‌های مختلف.....
۱۰۰	تصویر (۴-۳): محصول حاصل از Real-time PCR.....
۱۰۲	تصویر (۵-۳): SDS-Page از پروتئین استخراجی سلول‌های کشت داده شده در درصدهای مختلف FBS.....
۱۰۳	تصویر (۶-۳): تصاویر وسترن بلاتینگ از دو زیرواحد آلفا و بتا.....
۱۰۷	تصویر (۷-۳) SDS-Page بر روی پروتئین استخراجی در دمای ۳۷ درجه سانتیگراد.....
۱۰۸	تصویر (۸-۳): وسترن بلاتینگ بر روی پروتئین استخراجی در دمای ۳۷ درجه سانتیگراد.....
۱۱۱	تصویر (۹-۳) SDS-Page بر روی پروتئین استخراجی در دمای ۳۴ درجه سانتیگراد.....
۱۱۲	تصویر (۱۰-۳): وسترن بلاتینگ بر روی پروتئین استخراجی در دمای ۳۴ درجه سانتیگراد.....
۱۱۵	تصویر (۱۱-۳) SDS-Page بر روی پروتئین استخراجی در دمای ۳۲ درجه سانتیگراد.....
۱۱۶	تصویر (۱۲-۳): وسترن بلاتینگ بر روی پروتئین استخراجی در دمای ۳۲ درجه سانتیگراد.....
۱۱۸	تصویر (۱۳-۳) SDS-Page بر روی پروتئین استخراجی در دمای ۳۰ درجه سانتیگراد.....
۱۱۹	تصویر (۱۴-۳): وسترن بلاتینگ بر روی پروتئین استخراجی در دمای ۳۰ درجه سانتیگراد.....
۱۲۱	تصویر (۱۵-۳) SDS-Page بر روی پروتئین استخراجی در دمای ۲۸ درجه سانتیگراد.....
۱۲۲	تصویر (۱۶-۳): وسترن بلاتینگ بر روی پروتئین استخراجی در دمای ۲۸ درجه سانتیگراد.....
۱۲۵	تصویر (۱۷-۳): گروه اول RNA استخراجی از سلول رشد یافته در دماهای مختلف.....
۱۲۵	تصویر (۱۸-۳): گروه دوم RNA استخراجی از سلول رشد یافته در دماهای مختلف.....

- تصویر(۳-۱۹): واکنش PCR ژن *actβ* بر روی cDNA سنتز شده از mRNA استخراج شده در دماهای مختلف
۱۲۶.....
- تصویر(۳-۲۰): SDS-Page بر روی پروتئین استخراجی در pH های مختلف.....
۱۲۸.....
- تصویر(۳-۲۱): وسترن بلاتینگ بر روی پروتئین استخراجی در pH های مختلف.....
۱۲۹.....
- تصویر(۳-۲۲): RNA استخراج شده در pH های مختلف.....
۱۳۳.....
- تصویر(۳-۲۳): واکنش PCR ژن *actβ* بر روی cDNA سنتز شده از mRNA استخراج شده از سلول های در pH
های مختلف.....
۱۳۳.....
- تصویر(۳-۲۴): وسترن بلاتینگ فاز نهایی.....
۱۳۸.....

مقدمه و
کلیات